

# アミノトロポン配位子を有するキラルホウ素錯体の合成とCPL特性

日大生産工(院) ○田中虎南

近大院総理工 鈴木太哉・今井喜胤  
日大生産工 池下雅広・津野 孝

## 1. 緒言

トロポンおよびその誘導体(トロポノイド)は、7員環を有する非ベンゼノイド芳香族化合物群に属し、その特異な電子構造に着目した光学特性について調査が行われている。先行研究として、Sharmaら<sup>1)</sup>はトロポロンとアミノ酸を原料からトロポン配位子を調製し、この配位子を用いて最大で15%の絶対発光量子収率を持つホウ素錯体を合成した。Amishiroら<sup>2)</sup>はトロポンを骨格を有した新規ICT(Intramolecular Charge Transfer)型蛍光色素を合成し、環境依存性を調査したところ、酸添加によって蛍光が著しく増大することを見出した。このようにトロポンはおよびその誘導体は、高性能な発光材料として応用できる可能性を持っている。

本研究では、光学活性なアミノトロポンおよびアミノトロポンイミン配位子用いてホウ素錯体 $\mathbf{1-3}$ を合成し、発光特性を調査した。さらに、単結晶X線構造解析によって分子構造を決定し、そのデータに基づきTD-DFT計算による理論的な解析を行った。

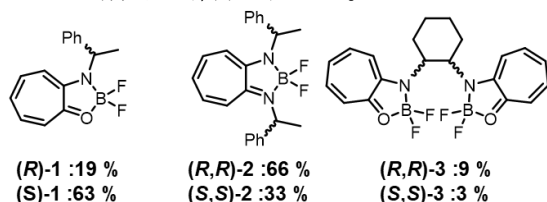


Figure 1. Structures of  $\mathbf{1-3}$ .

## 2. 実験

塩基存在下で対応する配位子と $\text{BF}_3\cdot\text{Et}_2\text{O}$ を脱水Toluene中で反応させることでホウ素錯体 $\mathbf{1-3}$ を得た(Figure 1)。 $\mathbf{1}$ および $\mathbf{2}$ はIR・NMR・MS測定、単結晶X線構造解析、 $\mathbf{3}$ はNMR測定・単結晶X線構造解析によって同定した。UV-vis吸収・発光・CD・CPLスペクトル測定によって光学特性の評価を行った。構造解析で得られた座標データを用いTD-DFT計算を行った。

## 3. 結果および考察

### 3-1. $\mathbf{1-3}$ の光学特性

$\mathbf{1-3}$ のUV-vis吸収スペクトルは、それぞれ340 nm、430 nm、340 nm付近に極大吸収を示した(Figure 2)。CDスペクトルより $\mathbf{1-3}$ は、対応するUV-vis吸収帶において、 $\mathbf{1}$ は330 nm-410 nm、 $\mathbf{2}$ は330 nm-440 nm、 $\mathbf{3}$ は280 nm-340 nmと340 nm-430 nmに符号反転を示した(Figure 2)。

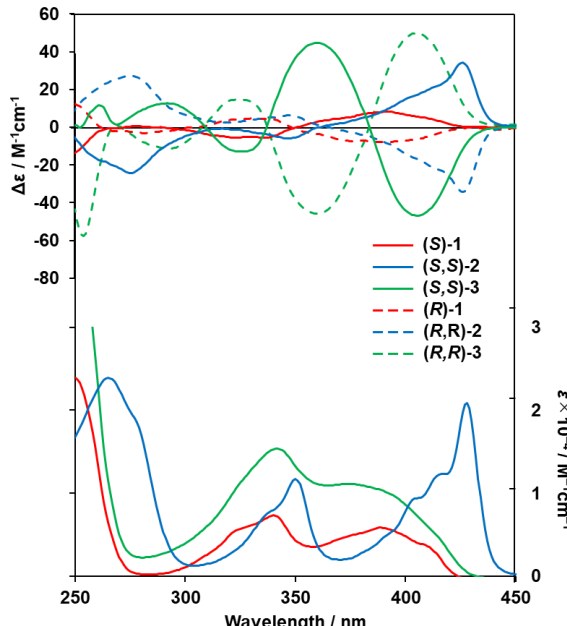
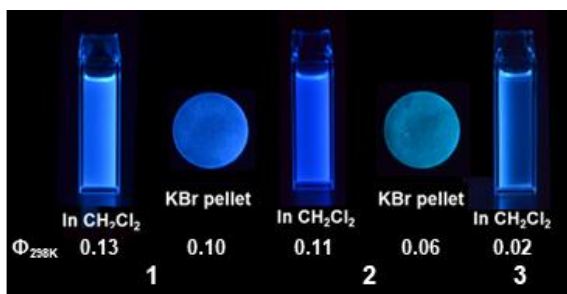


Figure 2. CD spectra (top) and UV/vis absorption spectra (bottom) of  $\mathbf{1-3}$ .

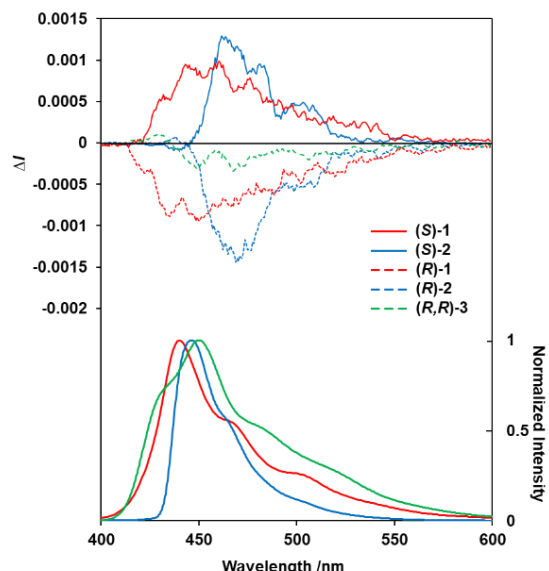
$\mathbf{1-3}$ は、 $\text{CH}_2\text{Cl}_2$ 溶液中でUV照射により青色の発光を示した。また、 $\mathbf{1}$ と $\mathbf{2}$ は、KBrペレット状態においても、同様に青色の発光を示した。 $\mathbf{1-3}$ の溶液状態における絶対発光量子収率は、それぞれ13%、11%、2%であり、KBrペレット状態では $\mathbf{1}$ が10%、 $\mathbf{2}$ が6%であった(Figure 3)。

発光スペクトルは、溶液中からKBrペレット状態にすると、 $\mathbf{1}$ は10 nm、 $\mathbf{2}$ は27 nm発光極大が赤方遷移した。また、 $\mathbf{1-3}$ の発光半値幅はそれぞれ50 nm、30 nm、60 nmとなつた。溶液状態で、 $\mathbf{1-3}$ のCPLスペクトルよ

り得られた  $g_{\text{lum}}$  はそれぞれ  $1.3 \times 10^{-3}$ 、 $1.7 \times 10^{-3}$ 、 $3.1 \times 10^{-3}$  であった (Figure 4)。



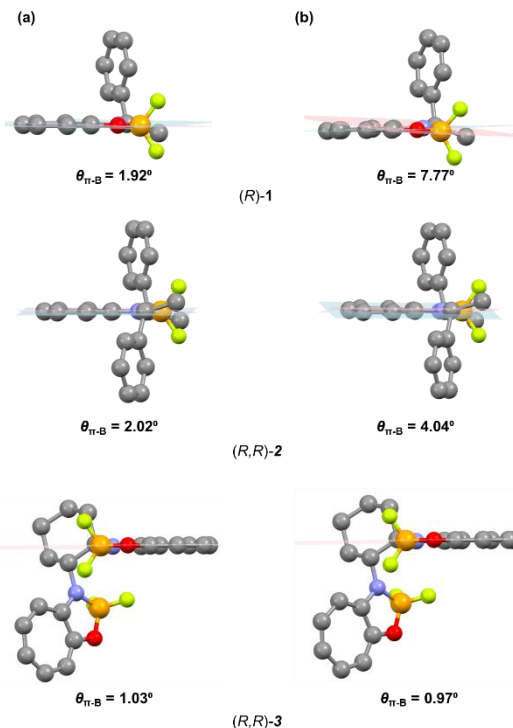
**Figure 3.** Photographs of **1**–**3** under UV irradiation (365 nm).



**Figure 4.** CPL spectra (top) and Emission spectra (bottom) of **1**–**3**.

### 3-2. **1**–**3** のDFT 計算

**1**–**3** の発光特性の違いを構造的な観点から考察するため、 $S_0$ 状態と $S_1$ 状態における最適化構造を求めた。**1**–**3** の構造内のトロポン環の最小二乗平面と、N–B–(O or N)配位平面との二面角を算出したところ、 $S_0$ 状態でそれぞれ $1.92^\circ$ 、 $2.02^\circ$ 、 $1.03^\circ$ であった。 $S_1$ 状態ではそれぞれ $7.77^\circ$ 、 $4.04^\circ$ 、 $0.97^\circ$ となり、*N,N*-キレートを有する(*R*)-**1** に比べ*N,N*-キレートを有する(*R,R*)-**2** の方が、励起過程で構造変化が小さいことが明らかとなつた。この構造変化の抑制が、(*R*)-**2** の半値幅の小さいシャープな発光に繋がつたと考える。また、(*R,R*)-**3** は励起過程において、平面構造を維持しており、(*R*)-**2** と同様に構造緩和が小さいことが明らかとなつた (Figure 5)。



**Figure 5.** Optimized structures of (*R*)-**1** , (*R,R*)-**2** and (*R,R*)-**3** in the (a) ground ( $S_0$ ) and (b) excited ( $S_1$ ) states estimated from DFT calculations (B3LYP/6-31 + G[d,p]) based on x-ray structures. Dihedral angles  $\theta_{\pi-B}$  between the least-square planes of the tropone ring and N–B–(O or N) plane are shown under each structure. Hydrogen atoms are omitted for clarity.

### 4. 結言

本研究では、アミノトロpon配位子を有するキラルホウ素錯体 **1**–**3** を合成し、それらのキロプティカル特性について検討した。TD-DFT 計算より、**2** は **1** に比べ、励起過程において、構造変化が小さいことが半値幅の狭い発光に寄与することを明らかにした。二つのトロpon骨格を有する 2 核ホウ素錯体 **3** を合成し、光学特性を調査したところ  $g_{\text{lum}}$  は  $3.1 \times 10^{-3}$  であり、単核錯体の **1** と **2** に比べCPL が 2 倍近く増強した。

### 参考文献

- 1) Palai, B. B.; Soren, R.; Sharma, N. K. *Org. Biomol. Chem.* **2019**, *17*, 6497–6505.
- 2) Amishiro, S.; Ueda, M.; Mazaki, Y. *Bull. Chem. Soc. Jpn.* **2022**, *95*, 1723–1729.
- 3) Ikeshita, M.; Kuroda, A.; Suzuki, S.; Imai, Y.; Tsuno, T. *ChemPhotoChem* **2024**, *8*, e202400110.